2002年4月

April 2002

光系统 | Chl 分子能量传递超快光谱动力学

王水才¹ 贺俊芳^{1,2} 蔡 霞^{1,2} 任兆玉^{1,2} 侯 洵¹ 李良璧³ 匡廷云³ (1 中国科学院西安光学精密机械研究所瞬态光学技术国家重点实验室, 西安 710068) (2 西北大学, 西安 710069)

(3中国科学院植物研究所光合作用研究中心,北京 100093)

摘 要 利用 ICCD 飞秒扫描成象和飞秒时间分辨光谱装置实验研究了高等植物捕光天线 LHC || 三聚体和 PS || 颗粒复合物的超快光谱动力学,经过吸收光谱和发射光谱分析,确定在 LHC || 三聚体中至少存在 7种 Chl 分子光谱特性,分别是 Chl b_6587_{656} 、Chl $a_6682_{10}^{682}$ 、Chl $a_682_{10}^{682}$ 、Chl $a_6682_{10}^{682}$ 、Chl $a_6682_{10}^{682}$ 、Chl $a_6682_{10}^{682}$ 、Chl $a_682_{10}^{682}$ 、Chl $a_682_{$

关键词 光系统 ■;叶绿素分子;能量传递;超快光谱动力学

0 引言

光系统 \parallel (PS \parallel) 颗粒复合物包含捕光天线 LHC \parallel 和核心天线 CP43、CP47 及反应中心 D1-D2-Cytb559 复合物,在高等植物光合作用中,捕光天线 LHC \parallel 中的聚光色素分子高效吸收太阳能,通过辅助外周天线 CP29、CP26 和 CP24 把光能传递给核心天线 CP43 和 CP47,然后再由CP43 和 CP47 分别把激发能传递到反应中心 D1-D2-Cytb559,进行稳定的光化学反应,从 PS \parallel 颗粒复合物中提纯出 LHC \parallel 后,剩余的为 PS \parallel 核心复合物

Trinkunas 等人¹ 对于高等植物的捕光复合物 ‖ (LHC ‖) 三聚体吸收光谱分析,在大约635nm~700nm 光谱范围有 12 条叶绿素吸收谱带 ·在捕光天线 LHC ‖中,叶绿素 a(Chla)、叶绿素 b(Chlb) 和 β胡萝卜素(β-Car) 分子天然排列非常紧密,这些色素从接收光能到形成激发态仅需 lfs 多时间,根本来不及发射荧光和无辐射跃迁 ·分子吸收谱多,表明 LHC ‖ 能在宽频谱范围吸收光能,加之天线色素分子之间排列紧密,一般分子间距小于临界距离 7nm,光量子在这些分子之间主要以 Forster 共振传能机制进行激发能传

递,有高效吸能和有效传能的特点 ·普遍认为 β-Car 吸收光能传递给 Chla 的效率高达 90%, Chlb 吸收的光能传递给 Chla 的效率接近 100%, 激发 能传递到反应中心,几乎以100%的量子效率转 化成为光化学反应的电能 . 我们曾经利用四能级 理论研究了LHC 申光合色素分子之间激发能 传递规律,短波长的色素分子先接收太阳能,然 后传递给波长较长的色素分子,最后由更长波长 的色素分子把能量传递给 PS # 核心天线 . 色素 分子之间能量传递的主要方式是在能级相邻分子 之间进行,能级非相邻色素分子之间的能量传递 过程也存在,但是在总能量中所占比例很小.由 菠菜提纯的捕光复合物 | 含有主外周天线 LHC **|**|_b, 辅助天线复合物 LHC ||_a(CP²⁹)、LHC ||_c (CP²⁶)和 LHC | d(CP²⁴) LHC | b 包含了光系 统 申大约 50%的叶绿素分子,以三聚体形式存 在 CP²⁹、CP²⁶ 和 CP²⁴ 以单体形式存在,它们 分别包含了大约5%的PS ■ 色素分子 . 近年来研 究绿色植物的 LHC Ⅱ 超快光谱及能量传递特性 趋向于采用很低强度光源。,以便得到比较接近实 际情况的结果,直接观测 LHC II 的超快能量传递

^{*} 国家重点基础研究发展规划(G1998010100)资助项目

过程⁴ 研究方法是值得采用的手段 · 本文报道最新的捕光天线 LHC ■ 三聚体吸能、传能到反应中心的超快动力学光谱和激发能传递过程相结合的实验结果 ·

1 捕光复合物 LHC 的光谱结构

高等植物高效吸收光能完全是由 LHC ■ 实 现的,因此,我们主要分析 LHC II 的光谱结构和 吸能、传能动力学 · 捕光天线复合物 LHC ▮ 是一 种超分子体系,每个单体中包含由 Lhcb1、Lhcb2、 Lhcb₃ 编码的三个多肽 LHC || ¼ (28kDa) 、LHC $\parallel_{\mathcal{L}}(27kDa)$ 和 LHC $\parallel_{\mathcal{L}}(25kDa)$ 组成,其单体含 有 3 个跨膜 **α**螺旋,其中两个由带电氨基酸相互 结合,维持 Chla 和 Chlb 分子之间紧密结合 .还 有 12 个叶绿素分子,由 7 个 Chla 和 5 个 Chlb 以 及两个 βCar 和 2 个叶黄素分子排成两层组成 . 分子是一个多核的量子力学体系,有它自身的特 征能级结构,分子内部的运动有价电子的运动,分 子内原子在平衡位置处的振动和分子绕其重心的 转动,因此分子有价电子能级、振动能级、转动能 级 . 分子的结构与核的几何构形有关, 激发态的 构形不同于基态,超分子体系有非常复杂的激发 态能级,分子的电子能级是比较好分的,分子的振 动能级填充在电子能级的间隔中,分子的转动能 级象带状地填充在振动能级之间 . 光合作用光谱 大约在 $380_{nm} \sim 780_{nm}$ 范围之内,相当于分子中 原子外层的电子跃迁,电子跃迁产生波长大约几 个 nm 的间隔,振动能级间隔大约零点几个 nm, 振动能级间隔含有很多条转动能级谱线 . 一般光 合作用吸收、发射谱峰值应该有振动能级间隔的 精度,超精细结构谱应该有转动能级间隔的精度。 能量较低的外层价电子跃迁通常产生可见光范围 的分子吸收光谱,LHC ■ 色素分子在可见光区有 强的宽电子吸收带,通常利用吸收光谱和发射光 谱研究生物物质的结构及其功能,像利用吸收光 谱来推断生物光吸收基因,结合基团的化学反应 等现象来研究生物功能 采用偏振光激励生物样 品也是获得生物物质结构和功能信息的有力工 具,光的偏振方向和跃迁偶极矩方向之间夹角达 到 90 时,分子中所含发射荧光发色团取向使跃 迁偶极矩方向平行于光的偏振方向,最可能而且 大限度地吸收偏振激发光,由于布朗运动对于分 子发射偏振光有消偏作用,就可以获得带有发射 光谱分子大小与不对称性的信息 . 采用发射各向 异性 D 随着时间指数衰减 $D(t) = D_0 e^{-3t/1}$ 的规 律,测得分子弛豫时间 T 已经成为探测分子结构 变化的常用工具 . 所以常用高时间分辨和空间分 辨光谱仪研究 LHC ▮ 吸收、发射光谱是非常有意 义的 . 由于超分子体系分子谱带互相重叠非常严 重, 荧光动力学光谱峰值很不突出, 很难确认, 目 前分子轨道理论可以定量计算较复杂的分子光谱 和激发态能级结构 LHC I 。含有三个多肽,其单 体含有三个跨膜 α螺旋,每 3~6 个氨基酸残基形 成一个螺旋圈, 螺距大约 0.54_{nm} , 侧链 R 基团位 于螺旋外侧,氢键方向与螺旋轴基本平行,因为螺

旋中的肽键全部形成氢键,所以结构稳定 LHC 《吸收和传递光能时,尽管样品在高于 273K,有自由运动的分子迹象,分子间互相的作用力产生微小变化,但仍能够维持超分子体系特定的空间结构 ·从光谱的超精细结构来看,不能维持不变 · LHC 《 结构还受到外界条件温度、浓度、激励光强度等因素影响,在承担绿色植物高效收集光能角色时,集光色素分子只能吸收电子能级及伴随有振动和转动跃迁能级之和的量子化能量为 $hv=E_2-E_1/C=\Delta H/c+\Delta H/c+\Delta H/c$ 的光子,形成非常密集的吸收带和吸收峰 ·所以 LHC 《 吸收谱带和发射光谱带集中在 $630_{\rm nm} \sim 700_{\rm nm}$ 之间 ·

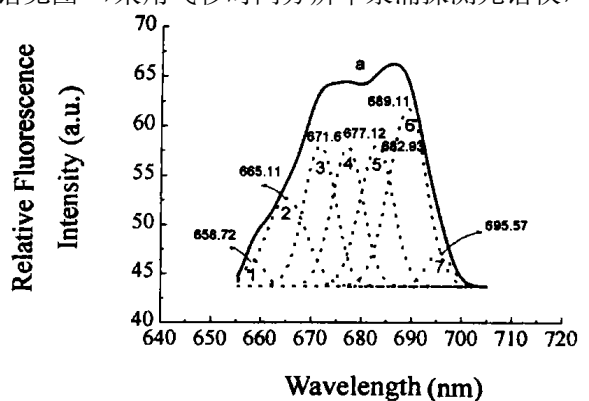
2 材料和方法

2.1 材料

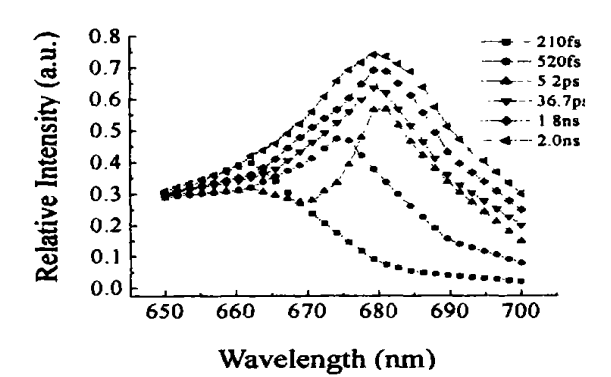
采用中国科学院植物研究所光合作用研究中心提纯的捕光复合物 LHC \parallel 和 PS \parallel 颗粒复合物样品,实验时,样品浓度为 $30\sim100$ \lg /mL,提纯方法参照 Satoh 和 Nanba(1987 年) 的方法 ·样品通常保存在液氮中,样品盒采用 3π 荧光收集装置,能够有效地收集 3π 立体角内发射的荧光

2.2 荧光动力学实验

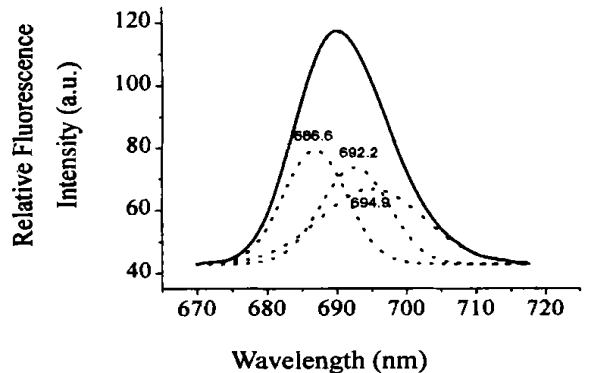
采用 ICCDps、fs 扫描成象光谱仪⁵ 和飞秒时 间分辨泵浦探测光谱仪 进行光谱实时测量激发 能传递光谱动力学研究,光源采用 Tsunami 钛宝 石飞秒激光器,输出 100fs 宽光脉冲,调谐在 720_{nm}~850_{nm}, 倍频输出 360_{nm}~425_{nm}, 基波 功率约为 300mW . 另外还采用氩激光器 514nm 光锁模,得到 100_{ps} 宽约 500_{mW} 的光脉冲 . 采 用信息处理 Boxcar 系统收集 RC31034A 光电倍 增管输出的信号,进行处理,单色仪是 SPEX²⁷⁰M,用于光谱成象扫描.通常样品激励 后,有两道探测系统,一路用于光谱成象扫描,另 外一路用于单光子计数测量 · 在进行 LHC ▮ 激发 能传递光谱测量时,其浓度 $30 \, \text{kg/mL}$, 处于 $273 \, \text{K}$. 采用功率 $2_{mW} \sim 3_{mW}$ 的波长 $400_{nm} \sim 425_{nm}$ 偏振光激励,另外还采用氩离子激光器锁模产生 100_{ps} 宽的 514_{nm} 波长的激励光 .利用 ICCD 皮 秒扫描成象光谱仪获得的 LHC ▮ 荧光发射积分 谱见图 1;采用飞秒时间分辨率泵浦探测光谱仪,



で作る9年2分2年2月日本 A Machine Journal 已合合的ic Publishing House. All rights reserved. http://www.cnki.ne



LHC ▮激发能传递荧光光谱动力学 The fluorescence spctra dynamics of excitation energy transfer in LHC



PS ■ 颗粒复合物荧光积分光谱和组分光谱 The fluorescence integral spectrum and component spectra of PS ∥ particle complex 在 650_{nm} ~ 705_{nm} 范围内逐点探测 LHC ▮ 激发 能传递荧光光谱特性,并进行荧光衰减数据处理, 见图 2;PS ■ 颗粒复合物的荧光发射光谱见图 3.

3 中CHI分子有效吸能、传能 超快光谱动力学

高等植物光合作用 PS I 有效吸能全靠捕光 复合体 LHC ■ 来实现, 从图 1 的 LHC ■ 荧光光谱 和解析出的组分光谱看到,实时测量得到的积分 光 谱 在 $650_{\rm nm} \sim 705_{\rm nm}$ 范 围,中 心 波 长 在 $680_{\rm nm}$,在 $670_{\rm nm}$ 和 $687_{\rm nm}$ 附近有两个不太尖锐 的峰值 . 在该积分光谱的范围内,解析出7个高 斯光谱组分,它们的参量见表 1.由于荧光光谱和 吸收光谱有镜象对称性, Chla, Chlb 和 β Car 色 素分子都承担吸收光能的任务,在测得 650nm~ 705nm 范围的光谱段内,经过吸收光谱和发射光

表 1 LHC | 7 个组分光谱参量 峰值波长 组分谱 序号 光谱强度 (nm) FWHM (nm)

谱面积 积分 $2.\overline{6038}$ 1 658.72 3.9660 12.943 8.9788 88.972 23 665.217.9064 14.385 671.60113.62 6.3022 4 677.126.2610 14.222 111.60 5 682.93 6.7047 14.433 121.28 6 689.11 7.4493 18.129 169.26 695.57 4.9986 3.4604 21.679

谱分析, Chl 分子出现7种光谱特征,它们是 Chl b_{653}^{658} , Chl $a_{662.0}^{665.2}$, Chl $a/b_{670}^{671.1}$, Chl $a_{675.0}^{677.1}$ Chla^{682.9}_{680,681}, Chla^{689.1}_{685.0}和Chla^{695.6}_{695.0} (Chla^e_a, a代表吸 收峰, e 代表发射峰) · 当我们采用 400nm~ 425nm 波长、10¹³光子 cm²/脉冲光强, 100fs 持续 期的光脉冲激励浓度为 $30 \, \mathbf{k} / \mathbf{m} \mathbf{L}$ 的 $\mathbf{LHC} \parallel = \mathbf{\mathbb{R}}$ 体样品时,在 $560_{nm} \sim 740_{nm}$ 之间进行逐点探测 飞秒激光诱导出的荧光光谱和荧光衰减曲线,并 目结合组分光谱强度拟合出组分寿命 . 从图 2 看 到,逐点探测拟合处理产生的2组超快寿命组分 为: 210fs、520fs 和 5.2ps、36.7ps,以及 2组长寿 命组分为 1.8_{ns} 、 2.0_{ns} , 这 6 个寿命组分反映了 捕光天线 LHC Ⅱ三聚体中叶绿素分子的激发能 传递过程 . 寿命 210fs 反映了 LCH ■ 三聚体中 $Chl_{b653/656}^{658}$ 分子向 $Chl_{a662.0}^{665.2}$ 分子间能量传递过程: 寿命 520fs 反映了相邻 Chlb653 7656 分子向 Chla677.10 分子间能量传递过程;寿命52ps反映了 Chlb653 /656 分子中间体 Chla 分子将能量传递到 $Chla_{880,881}^{682,9}$ 分子的过程; 寿命 36.7ps 反映了 Chla677.10分子吸收光能之后,由于偶极子间相互作 用产生光谱红移,随后将能量传递到 $Chl_{\alpha}^{682.9}$ 分 子的过程;长寿命 1.8ns 反映了 LHC 申无能量 捕获中心,由 Chla677 1分子通过中间体 Chla 分子 把能量传递到 Chla688-1分子,最后辐射荧光跃迁 回基态的过程;寿命 2.0_{ns} 反映了 $Chla_{680,681}^{682,9}$ 分子 间在辐射能量波长变换中,由于 Chla 分子间相互 作用,产生光谱红移,将能量传递到 Chla 695.6分 子,最后通过辐射更长波长的荧光返回到基态的 过程 · 看到只有单独的 LHC ■ 复合物天线,接收 光能的吸收谱线和发射谱线多了,由于没有光捕 获中心,消耗能量返回基态 .

我们得到的三聚态 LHC ▮能量传递组分寿 命与 Holzwarth 测定分析提出的 Cha/b 传能过 程基本一致',差异是不同测试条件引起的,本结 果有把激发能传递时间与 Cha/b 分子荧光光谱 结构相互结合的特点 .图 3 的 PS ■ 颗粒复合物 积分光谱是利用 ICCD 飞秒扫描成象光谱仪实时 测量得到的,其组分光谱是高斯解析谱 捕光天 线 LHC ■ 复合物在 650nm ~ 705nm 光谱范围内 有7个光谱组分,由于天线色素分子吸收光能过 程就是其激发过程,激发光谱的形状和吸收光谱 的形状极为相似,通常吸收光谱有偶极子作用不 同的红移会出现,那么就有7条吸收谱和7条红 移发射光谱峰值,这样 LHC Ⅱ 三聚体在 650nm~ 705_{nm} 谱段,有极强的吸收太阳光能的能力,在 实验中 PS ■ 颗粒复合物在 650nm 到 705nm 谱 段,有3条发射光谱,能最大限度地吸收光能,而 在 640_{nm}~675_{nm} 谱段,没有出现发射荧光峰, 说明在这个谱段,捕光天线色素分子能够以最高 的效率传递光能,仅有微弱的荧光辐射损耗 PS ▮ 颗粒复合物3条发射光谱峰值为686.6nm 692 .2_{nm}、694 .9_{nm},这3条发射带正好对应LCH || 三聚体的 682.9_{nm}、689.1_{nm}、695.6_{nm} 三个发射 谱·由于LHC ■本身没有能量捕获中心,Chl分 子基态和激发态都有振动能级,激发态的电子比 相邻分子有较大的振动能级,在光能传递中付出 部分能量,分别产生 Stokes 位移,最后以更高强 度的荧光发射损失能量 PS ■ 颗粒复合物,有天 然捕光天线 LHC ■ 和能量捕获中心,即反应中 心,有 P680 最有效地能量捕获中心,看到在 680nm 附近, 荧光损失很小, 大于 680nm 的光谱 范围, 荧光损失很大 . 所以有 P680 能量捕获中 心,加之在光照 400nm 到波长转换到 P680 附近 时,经过有极强的吸收光能本领的 Chlb 650 和 Chla670 两种叶绿素分子,每个 LHC ■ 三聚体最 少有 12 条吸收光谱通道,从阳光中摄取能量,通 过集光色素分子天然紧密空间结构, 汇聚光能并 且传递到反应中心,激发少数叶绿素分子,激发电 子的光能就是由这些叶绿素分子流入 P680. 我 们已经报道²PS I 核心复合物有 4 种寿命组分,分 别为 3.5ps、12ps、25ps 和 160ps.对核心天线 CP43 和 CP47 激发能传递动力学研究,得到长寿 命 3.54_{ns} 和 3.22_{ns} 的能量传递组分⁸, 说明只要 有能量捕获中心的 PS ■ 复合物很难得到长寿命 组分, 仅有 PS ■ 颗粒复合物的 LHC ■ 天线接收 到光能后,在约 200ps 之内就将激发能传递到反 应中心进行稳定的光化学反应 Trinkunas 等人 研究分析 LHC || 三聚体在 640_{nm} ~ 700_{nm} 谱带 有 12 条 Chl 分子吸收谱, 我们测得 LHC Ⅱ 三聚 体在 $650_{\text{nm}} \sim 705_{\text{nm}}$ 谱带有 7 条 Chl 分子荧光发 射谱,这就足够表明捕光天线有极强的吸收光能 的本领 . 从图 2 和图 3 中的 PS ■ 颗粒复合物炭 光发射谱看到,只要 PS I 有完整的天然构型,在 680nm 以前的光谱段, 荧光辐射损耗极小, 说明 捕光天线高效吸收光能之后,能以极高的转换效 率把能量在几十 ps 之内传递到核心天线, 然后核 心天线经过大约 100 多 ps 之后, 分别把光能传递 到反应中心²,这说明在 PS 申激发能传递速度 是非常快的 β-Car 分子向 Chla 分子传能效率高 达 90%, Chlb 分子向 Chla 分子传能效率接 近9100%,激发能传递到反应中心,几乎以100% 的量子效率转化成为光化学反应的内能 . 这些数 据都充分说明 PS || 的捕光天线 LHC || 天然结构 有很强的吸收太阳能的本领,并且能以高效而迅 速地将激发能传递到光合作用反应中心 .

4 结果与讨论

通过对捕光天线 LHC 和 PS 和 PS 和 整复合物 荧光光谱、激发能传递动力学探测,对于 LHC 和 分光谱解析得出 7 条高斯组分谱,并且与吸收 谱和荧光发射谱比较,在 650nm~705nm 光谱段得到 LHC 三聚体出现 Chla6887.66、Chla688.671、Chla687.671 Chla687.671 Chla687.

组最快寿命组分 210fs、520fs 和 5.2ps、36.7ps, 两个长寿命组分为 1.8_{ns} 和 2.0_{ns} . 三个最快的 寿命组分 210fs、520fs 和 5.2ps 反映了捕光天线 色素 Chlb 分子接收到的光能通过不同状态的 Chla 分子分别传递到 Chla 662、Chla 675、Chla 680 的超快过程;寿命 36 .7ps 反映了 Chla 675 分子吸 收光能之后,由于偶极子的相互作用产生光谱红 移,随后将能量传递到 Chla680 分子的过程:长寿 命 1.8_{ns} 和 2.0_{ns} 反映了 Chla 分子接收到光能, 通过相邻的单体 Chla 分子依次进行波长变换,最 后辐射荧光跃迁回到基态的能量传递过程 . 我们 在 LHC || 三聚体中得到了从 650nm ~ 705nm 范 围内 7 条荧光发射谱和光能从 LHC ■ 到达反应 中心传递时间约为 200ps 的尺度, 因此看出光系 统Ⅱ天然结构有极强的吸收光能的本领和超快传 递激发能的速度,光能传递到反应中心几乎有 100%的量子效率转化成稳定的进行光化学反应 的电能 Connelly 等人采用光强(1.6~9) × 10¹² 光子/ cm^2 /脉冲,在 650_{nm} 波长激励下,进行飞秒 分辨瞬态吸收测量 LHC Ⅱ三聚体光能传递时间, 在 645_{nm} 到 690_{nm} 之间得到短寿命组分 175_{fs} 、 625fs 和 5ps, 长寿命组分≥790ps、3.6ns.从实验 得知, 荧光寿命在很大程度上依赖于激发光强度、 样品浓度和实验温度 LHC ■的组分吸收谱和荧 光发射谱重叠相当严重,而且吸收谱和发射谱数 量相当多,从440nm~700nm 谱带吸收峰远远多 于 12 条,我们仅仅报道了自己在 $650_{nm} \sim 705_{nm}$ 谱段的实验和分析结果 对比图 1 和图 3 的发射 组分光谱,仅有单独的捕光天线 LHC ▮ 复合物实 验和分析,得到7条荧光发射谱,另外一个实验和 分析是仅有单独的 PS ■ 颗粒复合物实验和分析, 得到 3 条荧光发射谱 . 在 650nm~715nm 谱段范 围内所有10条组分光谱峰值波长偏差在 ±0.3nm 之内, 所以实验给出的高斯解析谱精度 是很高的,即理论与实际符合得很好 . 只有 LHC ■天然构型,吸收、发射谱有7条之多,说明捕光 天线有极强的收集光能力; 只有 PS | 颗粒天然构 型,仅仅得到3条荧光发射谱,而且谱带分布在 675_{nm}~710_{nm} 范围内,说明有完整的 PS **|** 天然 构型,不仅有极强的吸收光能的能力,还有高效的 传递激发能的能力,在光能传递到达光化学活性 叶绿素 P680 之前,辐射荧光损耗是极其微弱的 可以理论计算出集光色素分子吸收蓝光、红光,将 能量传递到达光合作用反应中心 P680 的光能传 递效率最佳值好于82%,计算所采用的损耗能量 包括波长变换无辐射损耗、荧光、磷光等机制引起 的总损耗², 计算认可了 PS ■ 有理想的天然构型, 有利于最有效的能量传递核几何构型、自旋位形、 分子空间取向等 . 太阳发射的有利于高等植物光 合作用的谱段在 380_{nm} 到 760_{nm} 范围, 而集光 色素分子叶绿素 a、叶绿素 b、 β 胡萝卜素的最大 吸收谱正好在 $400_{nm} \sim 680_{nm}$ 处, 自然界的这种 安排保持了地球上万物生长、生命繁衍 .

参考文献

- Trinkunas G. Connelly J.P. Miller M. G. et al. Model for the excitation dynamics in the light-harvesting complex from high paints. J. Phys. Chem. (B), 1997, 101(37):7313~7320
- 2 王水才, 贺俊芳, 张舒等 PS Ⅱ 高效传能超快微观机理研究 光子学报, 2000, 30(1):120~133
- 4 Du Mei Xie Xiaoliang, Mets Let al Direct observation of ultrafast energy-transfer processes in light -harvesting complex

 ↓ J Phys Chem, 1994, 98(17): 4736~4741
- 5 张舒, 贺俊芳, 贺锋涛等 . 光系统 ▮ 荧光特性快速扫描成象光谱技术研究 . 光子学报, 2001, 30(1):6~10
- 6 贺俊芳, 王水才, 杨鸿儒 . 飞秒差异吸收微弱信号测量技术 . 光子学报, 1999, 28(10):888~891
- Holzwarth A R·In mathis P(ed), Photosynthesis: From light to Biosphere Kluwer Aead Pub Dordrecht, 1995, 1(1): 35~40
- 8 贺俊芳, 王水才, 张舒等 · 内周天线 CP⁴³、CP⁴⁷ 中 βCar 到 Chα 分子间的能量传递 · 光子学报, 2001, 30(4):385~390
- 9 Horton P. Ruban A V. Walters R G. Regulation of light-harvesting in green plants. Annu Rev Plat Physiol Plant Biol, 1996, 47(2):644~684

ULTRAFAST SPECTRAL DYNAMICS OF CHLOROPHYLL MOLECULE ENERGY TRANSFER IN PHOTOSYSTEM

 $\begin{array}{c} \textbf{Wang Shuicai}^1, \textbf{He Junfang}^{1,2}, \textbf{Cai Xia}^{1,2}, \textbf{Ren Zhaoyu}^{1,2}, \textbf{Li Liangbi}^3, \textbf{Kuang Tingyun}^3 \\ 1 \ \textit{State key Laboratory of Transient Optics and Technology Xi'an Institute of Optics and Precision Mechanics}, \\ Chinese \ \textit{A cademy of Sciences}, \textit{P} \cdot \textit{O} \cdot \textit{Box} & 80, \textbf{Xi'an}, \textit{China} & 710068 \\ & 2 \ \textit{Northwest University}, \textbf{Xi'an}, \textit{China} & 710069 \\ \end{array}$

³ Photosynthesis Research Center, Institute of Botany, Chinese Academy of sciences, Beijing, China 100093 Received date: 2001-07-09

Abstract Ultrafast spectral dynamics in the light-harvesting complex \parallel and photosystem \parallel particle complex have been studied using ICCD femtosecond image scanning set and femtosecond time resolved spectrometer, 7 spectral components of chlorophyll a/b molecule have been obtained from the trimeric light-harvesting complex \parallel , they were $\mathrm{Chl}_{b553/656}^{658.7}$, $\mathrm{Chl}_{a662.0}^{665.2}$, $\mathrm{Chl}_{a/670.671}^{671.1}$, $\mathrm{Chl}_{a/675.0}^{677.1}$, $\mathrm{Chl}_{a/680.681}^{688.0}$, $\mathrm{Chl}_{a/685.0}^{688.0}$, a is the absorption spectrum peak, e is the emission spectrum peak). Exciting in the trimeric light-harvesting complex at $440\mathrm{nm}$ with intensity of 10^{13} photos/cm²/pulse, fluorescence kinetics from $6.0.5\,\mathrm{nm}$ to $7.0.5\,\mathrm{nm}$, yield $4\,\mathrm{ultrafast}$ component lifetimes of $2.10\,\mathrm{fs}$ and $5.20\,\mathrm{fs}$, $5.2\,\mathrm{ps}$ and $36.7\,\mathrm{ps}$, and $2\,\mathrm{long}$ component lifetimes of $1.8\,\mathrm{ns}$ and $2\,\mathrm{ns}$. The three fastest lifetimes of $210\,\mathrm{fs}$, $520\,\mathrm{fs}$ and $5.2\,\mathrm{ps}$ directly reflect from trimeric Chl_a to nearby monomer Chl_a . The longest $2\,\mathrm{lifetimes}$ reflect the energy transfer processes of Chl_a molecules from excited state to ground state through middle Chl_a molecules in the trimeric.

Wang Shuicai was graduated from University of Science and Technology of China in 1963. His research interests are the fields of life optics and ultrafast processes of interaction between femtosecond laser and organism molecules.